

## ОТЖИГ РАДИАЦИОННЫХ ДЕФЕКТОВ С ГЛУБОКИМИ УРОВНЯМИ В *n*-InP

**Кольченко Т. И., Ломако В. М., Мороз С. Е.**

Методом емкостной спектроскопии (НЕСГУ) исследован отжиг радиационных дефектов с глубокими уровнями в верхней половине запрещенной зоны *n*-InP ( $T_{\text{отж}} \leq 315^\circ\text{C}$ ). Показано, что основные стадии восстановления концентрации электронов (120 и 210–250 °C) коррелируют с отжигом центра *E*2 (0.2 эВ) и конфигурационно-бистабильного *M*-центра соответственно. Установлено, что кинетика отжига *E*2 близка к экспоненциальнай, а скорость реакции зависит от зарядового состояния центра. Отжиг *M*-центра не описывается простой экспоненциальной зависимостью. Сделано заключение, что характер отжига *M*-центра определяется эффективностью его взаимодействия с присутствующими в образцах термодинамически неравновесными технологическими дефектами.

Термический отжиг радиационных дефектов (РД), созданных различными видами облучения в *p*- и *n*-InP при комнатной температуре, изучался рядом авторов [1–7]. Установлено, что при энергии бомбардирующих электронов  $E \leq 4$  МэВ основное восстановление электрических [4, 5] и оптических (фотолюминесцентных) [6, 7] свойств облученного *n*-InP происходит в интервале температур 120–300 °C.<sup>1</sup> Исследования отжига радиационных дефектов с глубокими уровнями в *n*-InP, проведенные с помощью метода емкостной спектроскопии (DLTS), показали уменьшение концентрации ряда уровней при температурах 100–200 °C [1, 2]. Однако в этих работах отсутствовала количественная информация о параметрах отжига РД, корреляции между изменениями концентрации ловушек и восстановлением электрических свойств материала, а также зависимости процесса отжига от условий выращивания кристаллов.

В настоящей работе представлены результаты исследований изохронного и изотермического отжига электронных ловушек, создаваемых в *n*-InP в результате облучения  $\gamma$ -квантами  $^{60}\text{Co}$ . Концентрации ловушек определялись методом нестационарной емкостной спектроскопии глубоких уровней (НЕСГУ), а концентрация носителей заряда (*n*) — *C*—*V*-методом при 78 К. Для измерений использовались структуры с барьером Шоттки на основе эпитаксиальных слоев InP толщиной ~10 мкм, выращенных хлоридно-гидридным методом на низкотемпературных подложках [8]. Отжиг структур, облученных интегральными потоками  $\gamma$ -квантов  $\Phi \leq 2 \cdot 10^{18} \text{ см}^{-2}$ , проводился на воздухе в температурном интервале 90–315 °C.

Для облучения и отжига использовались как обычные структуры, так и структуры, прошедшие перед облучением контрольную предварительную термообработку (ПТО) при 280 °C в течение 30 мин. В результате ПТО наблюдалось небольшое (около 10 %) уменьшение концентрации носителей заряда в слоях.

Спектр НЕСГУ обоих типов облученных структур был одинаков и при  $\Phi > 2 \cdot 10^{17} \text{ см}^{-2}$  включал в себя пять основных пиков *E*1—*E*5, характеризующихся энергиями активации эмиссии электронов 0.20, 0.2, 0.32, 0.4, 0.60 эВ [9]. Ранее было показано [9–12], что уровни *E*1, *E*3 и *E*4 соответствуют переходам между различными зарядовыми состояниями конфигурационно-бистабильного дефекта в InP, называемого *M*-центром.

<sup>1</sup> Отжиг некоторых рекомбинационных центров протекает по меньшей мере до 600 °C [6].

Результаты изохронного ( $\Delta t=10$  мин) отжига облученного  $n$ -InP представлены на рис. 1. Видно, что сразу после облучения концентрации всех глубоких центров, за исключением  $E5$ , одинаковы в обоих типах структур. В обычных (нетермообработанных) структурах восстановление концентрации электронов в слоях при отжиге происходит в интервале температур 90–250 °C и имеет две основные стадии — около 120 и 210 °C. Первая стадия восстановления  $n$  в обоих случаях согласуется с отжигом ловушки  $E2$ , а вторая — коррелирует с отжигом ловушек  $E1$ ,  $E4$ , соответствующих  $A$ -конфигурации  $M$ -центра в InP. Характер отжига в термообработанных структурах имеет одно существенное отличие

по сравнению с обычными — заметный (примерно на 40 °C) сдвиг второй стадии отжига в высокотемпературную область. Установлено, что величина этого сдвига зависит от условий выращивания образцов и изменяется в пределах 30–70 °C. Тот факт, что вторая стадия восстановления  $n$  в термообработанных структурах затянута в сторону повышенных температур и совпадает со стадией отжига ловушек  $E1$ ,  $E4$ , а также качественное соответствие изменения  $n$  на этой стадии в обоих типах структур суммарному изменению концентрации  $E1$  и  $E4$  указывают на преимущественно акцепторный характер многозарядного  $M$ -центра в InP.

Предварительная термообработка оказывает влияние и на отжиг доминирующего центра  $E5$ . В обычных структурах концентрация  $E5$ , как правило, умень-

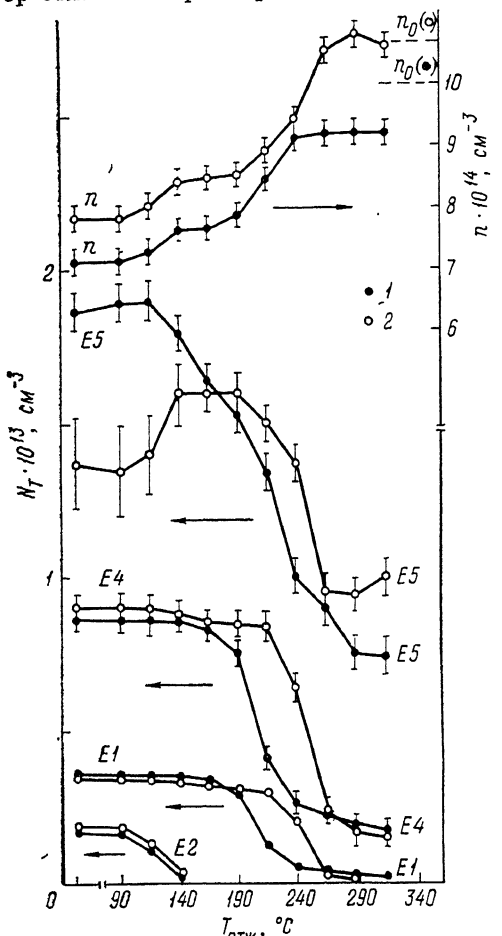


Рис. 1. Изменение концентрации введенных облучением глубоких центров  $E1-E5$  ( $N_T$ ) и концентрации носителей заряда ( $n$ ) в процессе изохронного отжига  $n$ -InP.

$\Phi=1 \cdot 10^{18}$  см<sup>-2</sup>. 1 — нетермообработанные структуры, 2 — структуры, пропущенные предварительную термообработку при 280 °C.

шается более чем в 2 раза в температурном интервале 130–290 °C и при дальнейшем повышении температуры практически не изменяется. В термообработанных образцах частичный отжиг  $E5$  происходит при более высокой температуре, при этом типичное изменение концентрации  $E5$  по отношению к начальному значению составляет около 30 %.

Рассмотрим теперь кинетику отжига отдельных центров. Исследования изотермического отжига центра  $E2$  показали, что этот процесс описывается простой экспоненциальной зависимостью, характерной для реакции первого порядка. Из зависимости постоянной времени  $\tau$  от обратной температуры были определены энергия активации и характерная частота процесса (рис. 2, кривая 1)

$$\tau^{-1} = 6 \cdot 10^{15} \exp(-1.46 \text{ эВ}/kT), \text{ с}^{-1}. \quad (1)$$

В результате исследования образцов, выращенных в различных технологических режимах, было обнаружено, что скорость отжига центра  $E2$  зависит только от концентрации электронов в исследуемых слоях (рис. 3). Изменению  $n_0$  в пределах  $3 \cdot 10^{14}$ – $10^{16}$  см<sup>-3</sup> при  $T_{\text{отж.}}=115$  °C соответствует изменение положения

уровня Ферми от  $E_c = 0.27$  до  $E_c = 0.15$  эВ. Поскольку глубина залегания уровня  $E2$  составляет около 0.2 эВ, можно предположить, что уменьшение скорости отжига центра  $E2$  при увеличении  $n_0$  обусловлено изменением его зарядового состояния. Пусть  $N$  — концентрация центров  $E2$ ,  $f$  — доля центров, заполненных электронами,  $\chi_1$  и  $\chi_2$  — константы скорости отжига центров в двух зарядовых состояниях. Тогда для изменения концентрации  $E2$  в процессе отжига можно записать

$$-\frac{dN}{dt} = \chi_1 N f + \chi_2 N (1 - f) \approx N \left( \chi_1 \frac{n_0}{n_0 + n_1} + \chi_2 \frac{n_1}{n_0 + n_1} \right) = \frac{N}{\tau_{\text{эфф}}}, \quad (2)$$

где  $n_1 = N_c \exp(-E/kT)$ ,  $N_c$  — плотность состояний в зоне проводимости,  $E$  — глубина залегания уровня  $E2$ . Из (2) следует, что

$$N(t) = N(0) \exp(-t/\tau_{\text{эфф}}), \quad (3)$$

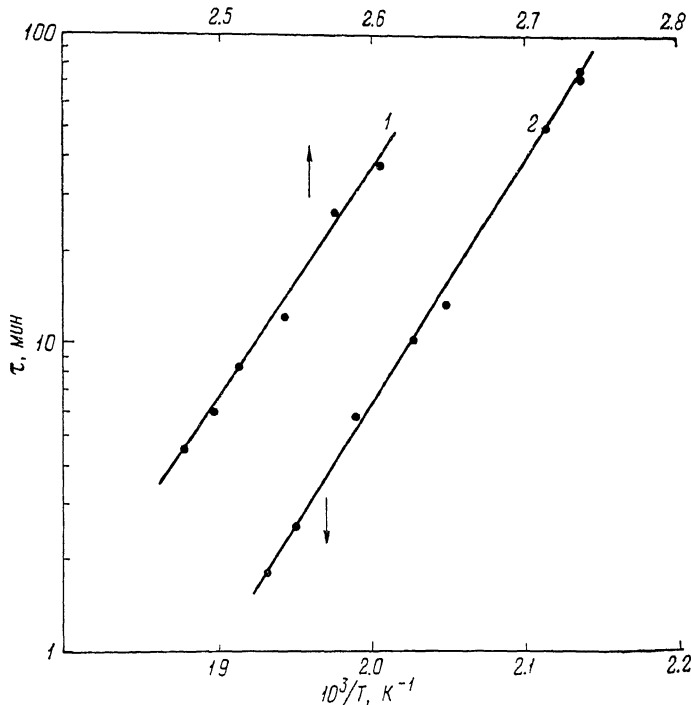


Рис. 2. Температурные зависимости постоянных времени отжига.

1 — для центра  $E2$  в образцах с  $n_0 = 5 \cdot 10^{14} \text{ см}^{-3}$ , 2 — для  $M$ -центра.

где

$$\tau_{\text{эфф}} = \frac{n_0 + n_1}{\chi_1 n_0 + \chi_2 n_1}. \quad (4)$$

Расчетная зависимость  $\tau_{\text{эфф}}(n_0)$  хорошо согласуется с экспериментальными данными (рис. 3) при  $n_1 = 10^{15} \text{ см}^{-3}$ ,  $\chi_1 = 3.2 \cdot 10^{-5}$ ,  $\chi_2 = 9.3 \cdot 10^{-4} \text{ с}^{-1}$ . При  $T_{\text{отж}} = -115^\circ\text{C}$  значение  $n_1 = 10^{15} \text{ см}^{-3}$  соответствует глубине залегания уровня  $E_c = -0.22$  эВ, что в пределах погрешности измерений совпадает с энергией активации термоэмиссии электронов центром  $E2$ . Отсюда можно заключить, что в зарядовом состоянии без электрона на уровне  $E_c = -0.2$  эВ при  $T = 115^\circ\text{C}$  константа скорости отжига дефекта  $E2$  существенно (примерно в 30 раз) выше, чем в заполненном состоянии.

Независимость скорости отжига центра  $E2$  от совершенства исходных образцов, простая кинетика процесса, соответствующая реакции первого порядка, а также значение предэкспоненциального множителя  $10^{15} - 10^{16} \text{ с}^{-1}$  в выражении (1), характерное, согласно [13], для локально протекающей реакции, свидетельствуют в пользу того, что отжиг дефекта  $E2$  происходит в результате одного-двух атомных прыжков. Это может быть, например, аннигиляция

компонент комплекса или его диссоциация с быстрым уходом составляющих к стокам.

Как видно из рис. 4, отжиг ловушки  $E1$  ( $M$ -центра) носит более сложный характер и не следует кинетике реакции первого порядка. Временная зависимость

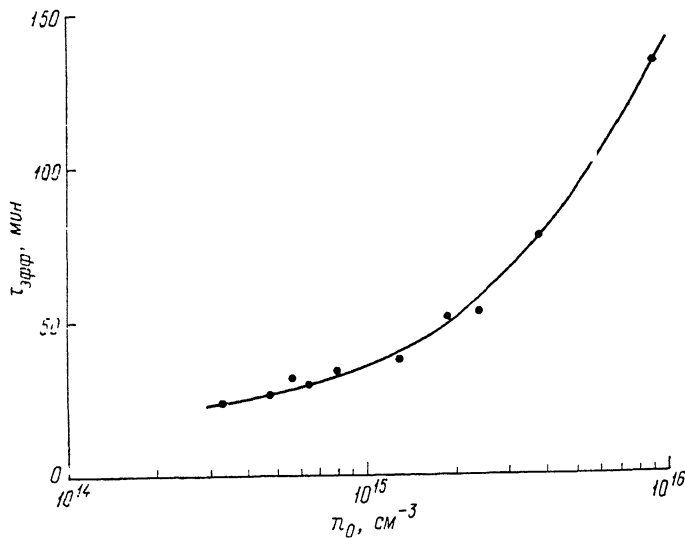


Рис. 3. Зависимость постоянной времени отжига центра  $E2$  при  $T_{\text{отж}} = 115^\circ\text{C}$  от концентрации электронов в слоях.

Сплошная кривая — расчет в соответствии с (4).

мость концентрации  $E1$  близка к экспоненциальному лишь на начальном этапе отжига. При увеличении времени выдержки скорость изменения  $M/M_0$  уменьшается, и при  $t \rightarrow \infty$  концентрация дефекта приближается к постоянному значению, равному  $M_\infty$ . Кроме того, характеристики отжига  $M$ -центра на ста-

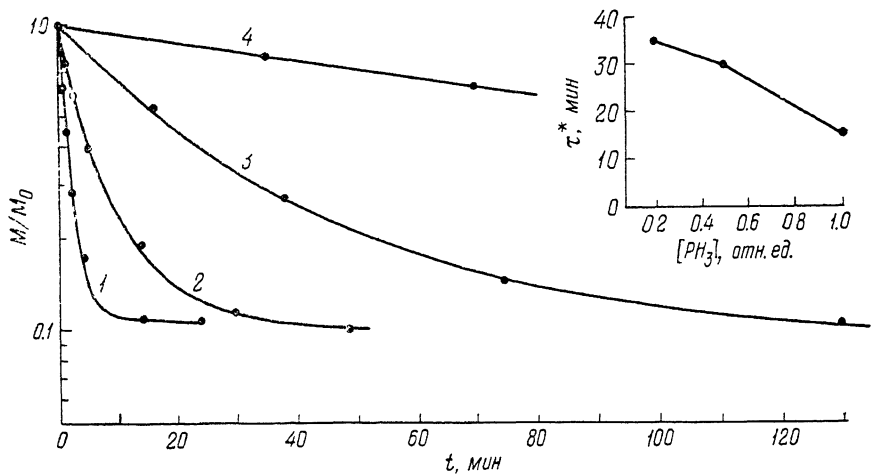


Рис. 4. Изменение концентрации  $M$ -центра в процессе позитрмического отжига.

Сплошные кривые — расчет в соответствии с (7).  $T_{\text{отж}}, ^\circ\text{C}: 1 - 240, 2 - 220, 3 - 200, 4 - 180$ . На вставке зависимость постоянной времени отжига  $\tau^*$  при  $T_{\text{отж}} = 220^\circ\text{C}$  от концентрации фосфина ( $\text{PH}_3$ ) при выращивании слоев.

дии  $210^\circ\text{C}$  существенно зависят от условий выращивания (см. вставку на рис. 4) и предварительной термообработки исходных образцов (рис. 1). Эти данные указывают на то, что отжиг  $M$ -центра определяется его взаимодействием с дефектами технологического происхождения, присутствующими в исходных образцах. Как видно из рис. 1, ПТО приводит к существенному уменьшению

скорости отжига  $M$ -центра по крайней мере при  $T=180\text{--}260^\circ\text{C}$ . Это может означать, что ПТО исходных образцов устраниет большую часть дефектов, способных принять участие в отжиге  $M$ -центра при  $T < 260^\circ\text{C}$ . Проведенный эксперимент свидетельствует, таким образом, о присутствии в исходных эпитаксиальных слоях InP при используемых температурах термодинамически неравновесных дефектов, которые, вероятно, образуются в процессе выращивания и последующего охлаждения структур от температуры роста до комнатной. В том случае, когда часть таких дефектов устраняется с помощью ПТО при  $280^\circ\text{C}$ , отжиг  $M$ -центра происходит при повышенных температурах ( $T > 220^\circ\text{C}$ ) и носит сложный характер.

Отжиг  $M$ -центра может происходить в результате его миграции как целого к стокам или же посредством рекомбинации с подвижными при данной температуре более простыми дефектами. Возможность перемещения  $M$ -центра по кристаллу как целого при температурах  $\sim 200^\circ\text{C}$  представляется маловероятной с учетом сложной структуры этого конфигурационно-бистабильного дефекта [14]. Более предпочтительным, по нашему мнению, является предположение об обусловленности стадии отжига  $M$ -центра при  $T=210^\circ\text{C}$  миграцией технологических дефектов. В пользу этого механизма отжига  $M$ -центра свидетельствует то, что ПТО влияет на характер частичного отжига центра  $E5$ , не связанного с  $M$ -центром. Так, в образцах, прошедших ПТО, обычно наблюдалось уменьшение доли центров  $E5$ , отжигающихся при  $T < 300^\circ\text{C}$  (рис. 1).

На основании полученных экспериментальных данных можно заключить, что при температурах выше  $150^\circ\text{C}$  в нетермообработанных ранее эпитаксиальных слоях InP присутствуют подвижные дефекты решетки InP ( $T$ -дефекты), концентрация и поведение которых существенно зависят от технологии выращивания образцов. По-видимому, эти дефекты мигрируют на значительные расстояния, часть их способна рекомбинировать с относительно малоподвижными радиационными дефектами, изменяя концентрацию соответствующих глубоких уровней ( $E1$ ,  $E4$ ,  $E5$ ), часть их в ходе отжига оседает на стоках (дислокациях, границах раздела и т. д.).

Тогда, используя общепринятый подход, для изменения концентрации  $M$ -центра можно записать

$$dM/dt = -\alpha M(t) N(t), \quad (5)$$

где  $N(t)$  — концентрация подвижных  $T$ -дефектов, рекомбинирующих с  $M$ -центром,  $\alpha$  — вероятность взаимодействия  $M$ -центра с  $T$ -дефектом. Рассмотрим наиболее простой случай, когда технологические дефекты исчезают главным образом путем диффузии к фиксированным стокам, считая при этом концентрацию  $M$ -центра слишком малой, для того чтобы пренебречь на кинетику исчезновения  $T$ -дефектов. Тогда можно ожидать, что уменьшение концентрации  $T$ -дефектов описывается простой экспонентой

$$N(t) = N_0 \exp\left(-\frac{t}{\tau}\right), \quad (6)$$

где  $N_0$  — начальная концентрация  $T$ -дефектов,  $\tau$  — характерное время их исчезновения. Решая совместно (5), (6) с учетом начального условия  $M(t=0)=M_0$ , получаем

$$\ln \frac{M(t)}{M_0} = -\alpha N_0 \tau \left[ 1 - \exp\left(-\frac{t}{\tau}\right) \right], \quad (7)$$

$$\frac{M(t)}{M_0} = \exp \left\{ -\alpha N_0 \tau \left[ 1 - \exp\left(-\frac{t}{\tau}\right) \right] \right\}. \quad (7')$$

При  $t \rightarrow 0$

$$\frac{M(t)}{M_0} \approx \exp(-\alpha N_0 t) = \exp\left(-\frac{t}{\tau^*}\right), \quad (8)$$

где  $\tau^* = (\alpha N_0)^{-1}$ .

При  $t \rightarrow \infty$

$$\frac{M(t)}{M_0} \approx \exp(-\alpha N_0 \tau) = \exp\left(-\frac{\tau}{\tau^*}\right). \quad (9)$$

Из рис. 4 следует, что экспериментальные данные хорошо описываются с помощью выражения (7). В соответствии с (7) кинетику отжига  $M$ -центра можно охарактеризовать двумя постоянными времени —  $\tau^*$  и  $\tau$ . Первая из них обратно пропорциональна начальной концентрации неравновесных  $T$ -дефектов, вторая — числу стоков для них. Из анализа полученных экспериментальных данных с использованием выражения (7) была определена температурная зависимость  $\tau(T)$  (рис. 2, кривая 2), которая может быть аппроксимирована выражением

$$\tau^{-1} = 1.4 \cdot 10^{18} \exp(-1.56 \text{ эВ}/kT), \text{ с}^{-1}. \quad (10)$$

Приведенное выражение для времени жизни  $T$ -дефекта, по-видимому, описывает его миграцию на большие расстояния, поскольку величина  $\tau$  существенно зависит от совершенства исходных образцов.

Дополнительная информация о возможной природе  $T$ -дефектов была получена из экспериментов по отжигу  $M$ -центра в образцах различного стехиометрического состава. Было обнаружено (см. вставку на рис. 4), что в пленках, выращенных при повышенных значениях отношения  $P/In$  в газовой фазе, начальная скорость отжига  $M$ -центра наиболее высока (величина  $\tau^*$  минимальна). Это означает, что содержание  $T$ -дефектов в них выше. Известно [5], что повышение давления паров фосфора при росте кристаллов InP приводит к увеличению содержания в них вакансий индия и междуузельных атомов фосфора. Учитывая результаты исследования аннигиляции позитронов в облученном  $n$ -InP [5], указывающие на отжиг дефектов вакансационного типа около  $200^\circ\text{C}$ , можно предположить, что  $T$ -дефекты, скорее, связаны с вакансиями индия, нежели с междуузельными атомами фосфора. В пользу этого предположения свидетельствует также количественное совпадение энергий активации процессов в [5] ( $E \approx 1.6 \text{ эВ}$ ) и в нашем случае ( $E \approx 1.56 \text{ эВ}$ ).

#### Список литературы

- [1] Levinson M., Benton J. L., Temkin H., Kimerling L. C. // Appl. Phys. Lett. 1982. V. 40. N 11. P. 990—992.
- [2] Tapster P. R. // J. Cryst. Growth. 1983. V. 64. N 1. P. 200—205.
- [3] Sibille A., Suski J., Gilleron M. // J. Appl. Phys. 1986. V. 60. N 2. P. 595—601.
- [4] Brailovskii E. Yu., Karapetyan F. K., Megela I. G., Tartachnik V. P. // Phys. St. Sol. (a). 1982. V. 71. N 2. P. 563—568.
- [5] Brudnyi V. N., Vorobiev S. A., Tsai A. A. // Appl. Phys. A. 1982. V. 29. N 4. P. 219—223.
- [6] Sibille A., Rao E. V. K. // J. Cryst. Growth. 1983. V. 64. N 1. P. 194—199.
- [7] Constant A., Wessels B. W. // Mater. Sci. Forum. 1986. V. 10-12. N 3. P. 1027—1032.
- [8] Попов В. П., Цыпленков И. Н., Первушина Р. К. // Электрон. техн. Материалы. 1979. № 8. С. 59—61.
- [9] Колченко Т. И., Ломако В. М., Мороз С. Е. // ФТП. 1987. Т. 21. В. 6. С. 1075—1078.
- [10] Slavola M., Levinson M., Benton J. L., Kimerling L. C. // Phys. Rev. B. 1984. V. 30. N 2. P. 832—839.
- [11] Колченко Т. И., Ломако В. М., Мороз С. Е. // ЖПС. 1989. Т. 50. В. 1. С. 136—138.
- [12] Suski J., Sibille A., Bourgoin J. // Sol. St. Commun. 1984. V. 49. N 9. P. 875—878.
- [13] Sibille A. // Phys. Rev. B. 1987. V. 35. N 8. P. 3929—3936.
- [14] Wager J. F., Van Vechten J. A. // Phys. Rev. B. 1985. V. 32. N 8. P. 5251—5258.
- [15] Морозов А. Н., Бублик В. Т., Григорьева Т. П. // Кристаллография. 1984. Т. 29. В. 4. С. 757—763.

Научно-исследовательский институт  
прикладных физических проблем  
им. А. Н. Севченко БГУ им. В. И. Ленина  
Минск

Получена 23.05.1990  
Принята к печати 6.07.1990